

Systemes embarqués

Master TSI

Julien Marot

julien.marot@fresnel.fr

Plan

- 1 Supports aux systems embarqués
- 2 Analyse de visages sur Raspberry Pi
- 3 Détection et suivi de visage dans une application de vending
- 4 Détection de défauts, contrôle non destructif de pièces métalliques
- 5 Détection de formes dans des images géo-radar (démonstration)

1 Supports aux systèmes embarqués

Hardware supports

- ▶ Tablets
- ▶ SmartPhones
- ▶ Personal Computers
- ▶ Laptops

Data exchange supports

High rate Internet, Wi-Fi, ...



- Problématiques: temps de calcul, transfert d'information entre les supports

➤ *Low-cost platforms, open-source code*

Architecture

- ▶ **Thymio:**
Windows
several types of sensors
- ▶ **LEGO Mindstorms:**
Linux OS
4 inputs for data acquisition



Programming principles

Visual programming environment
functionnal block diagram, C

➤ *Multi-core DSP
industry oriented courses*

Architecture

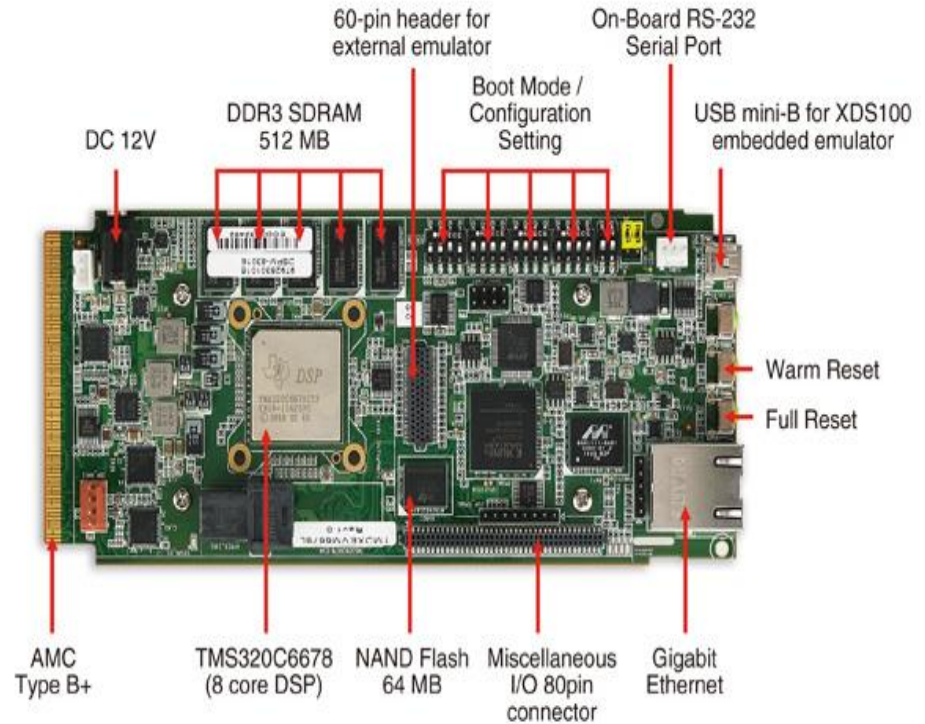
- ▶ T6678:
8 Core DSP
- ▶ Several types of I/O ports

Programming principles

Code Composer Studio

TMDXEVM6678L

TMX320C6678 Evaluation Module



➤ Raspberry Pi

Architecture~Nanocomputer

- ▶ Four USB ports
- ▶ GPIO port
- ▶ Memory chip, and ARM processor underneath
- ▶ SD-card: Hard Disk
- ▶ Model 3: 64 bits,1.2Ghz

Programming principles

OS: Linux command line or GUI, Softwares: Python, OpenCV ...

Applications

Image processing, Robotics, ...



➤ Hardware

Raspberry Pi
Micro-SD card for the operating system
~ 60 €



Camera Pi
Infra Red or classical
~ 40 €



USB Hub
Peripherals
Screen
Keyboard
Mouse

➤ Application d'intelligence artificielle

Robot UBBO Axyn:
Robot d'accueil

<http://www.axyn.fr/>



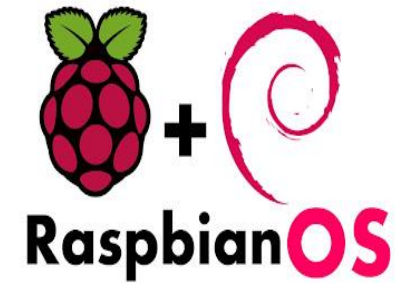
Operating system:

Raspbian Wheezy:

boots to command line ~ Linux

Raspbian Jessie:

boots straight to the desktop graphical user interface



Softwares:

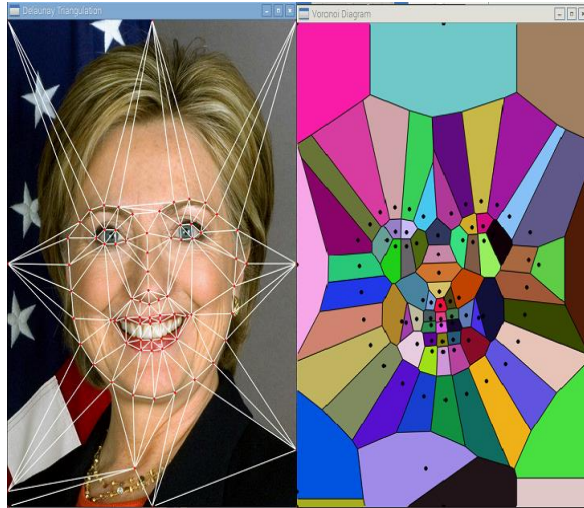
Python

OpenCV on the SD-card



2 Analyse de visages sur Raspberry Pi

Morphing



Control points required



Keypoint detection and matching

```
import numpy as np
import cv2
from matplotlib import pyplot as plt

img = cv2.imread('./alex.jpg')
```

SIFT

```
# Initiate STAR detector
sift = cv2.xfeatures2d.SIFT_create(10)

# find the keypoints with SIFT
kp = sift.detect(img, None)
```

```
# draw only keypoints location, not size and orientation
img2 = cv2.drawKeypoints(img, kp, None, color=(0, 255, 0), flags=4)
```

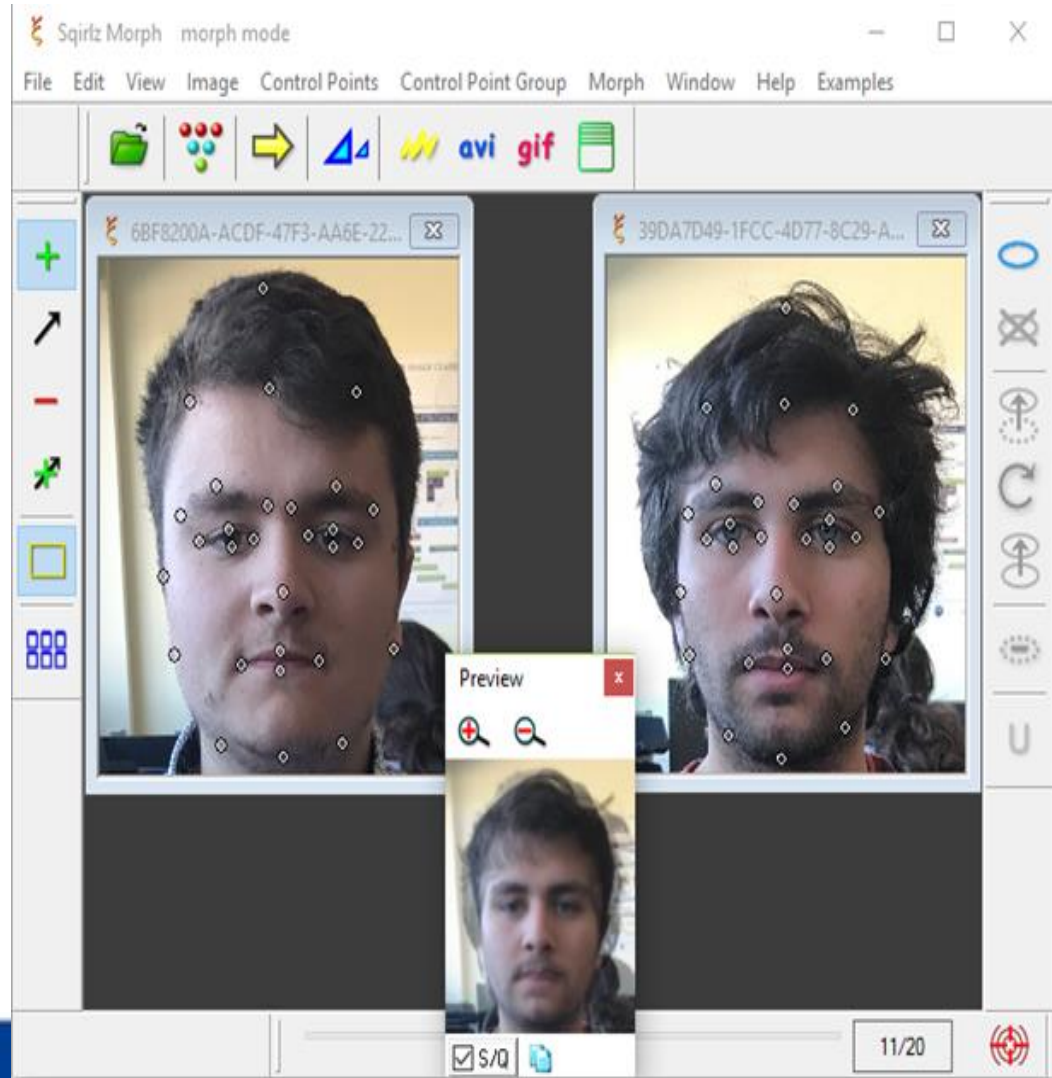
SURF

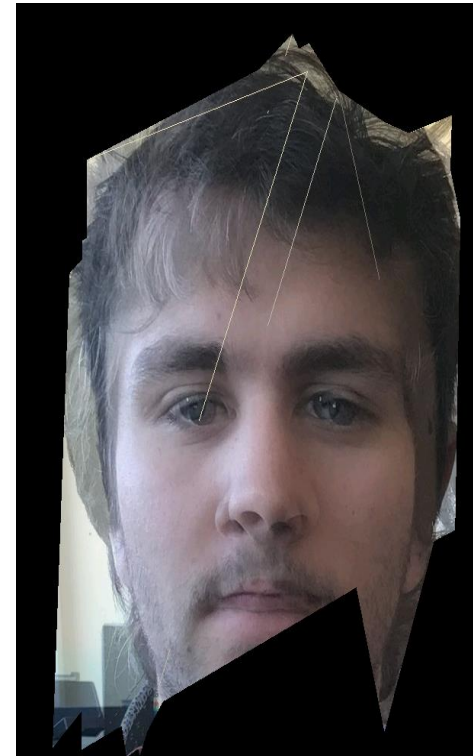
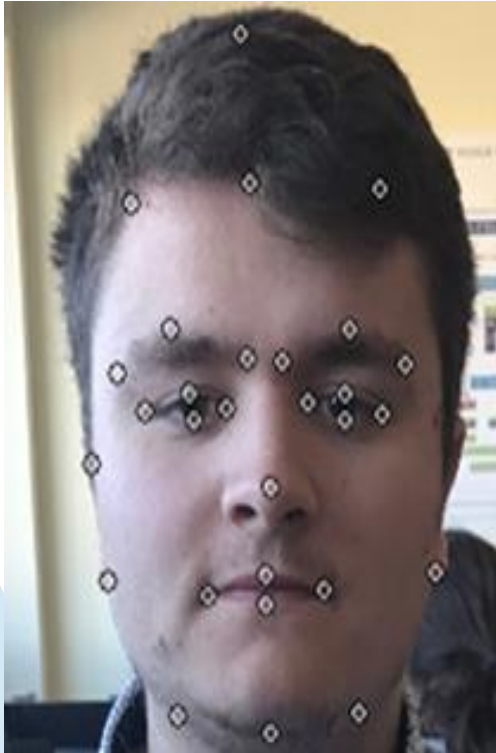
```
# Initiate STAR detector
surf = cv2.xfeatures2d.SURF_create(400, 5, 5)

# find the keypoints and compute the descriptors with SURF
kp, des = surf.detectAndCompute(img, None)
```

Morphing,

With manual 'control'
keypoint selection on Sqirlz
Morph

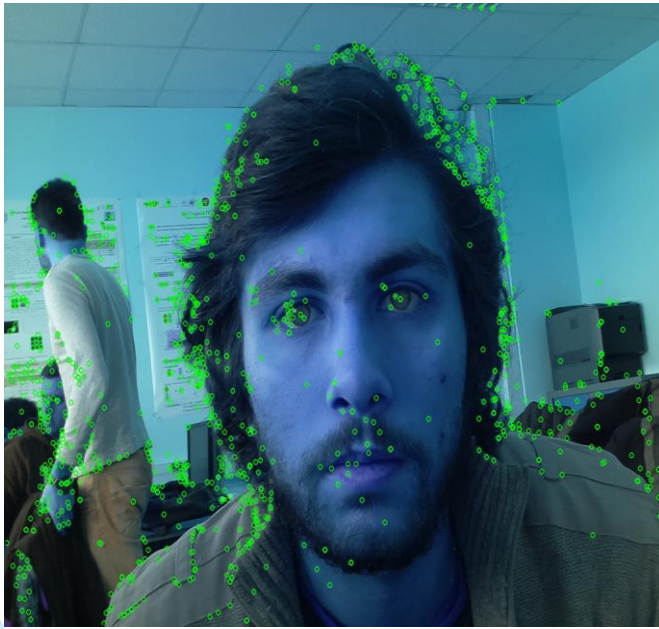




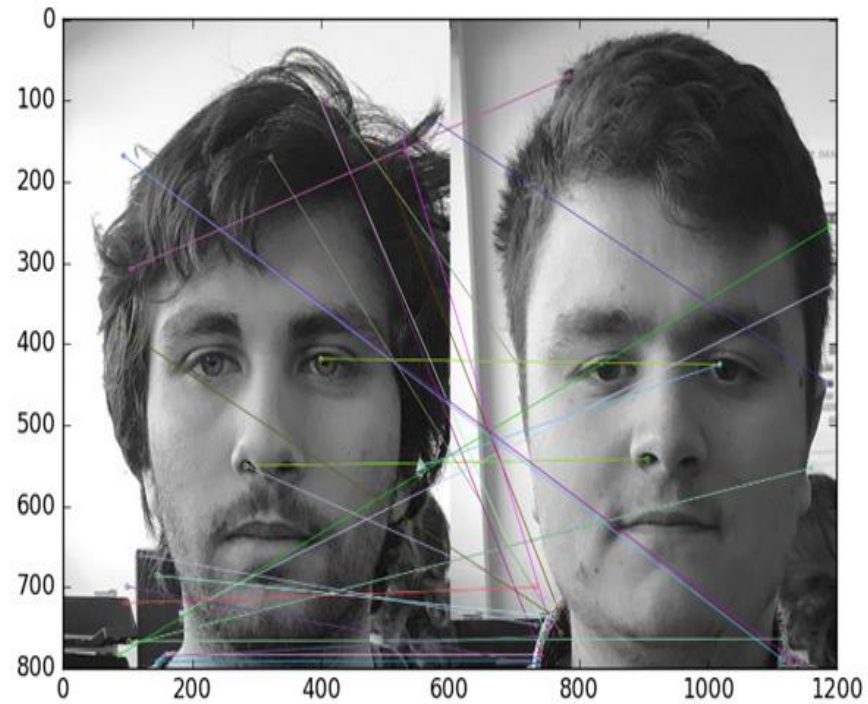


➤ Image processing applications

Keypoint detection and matching



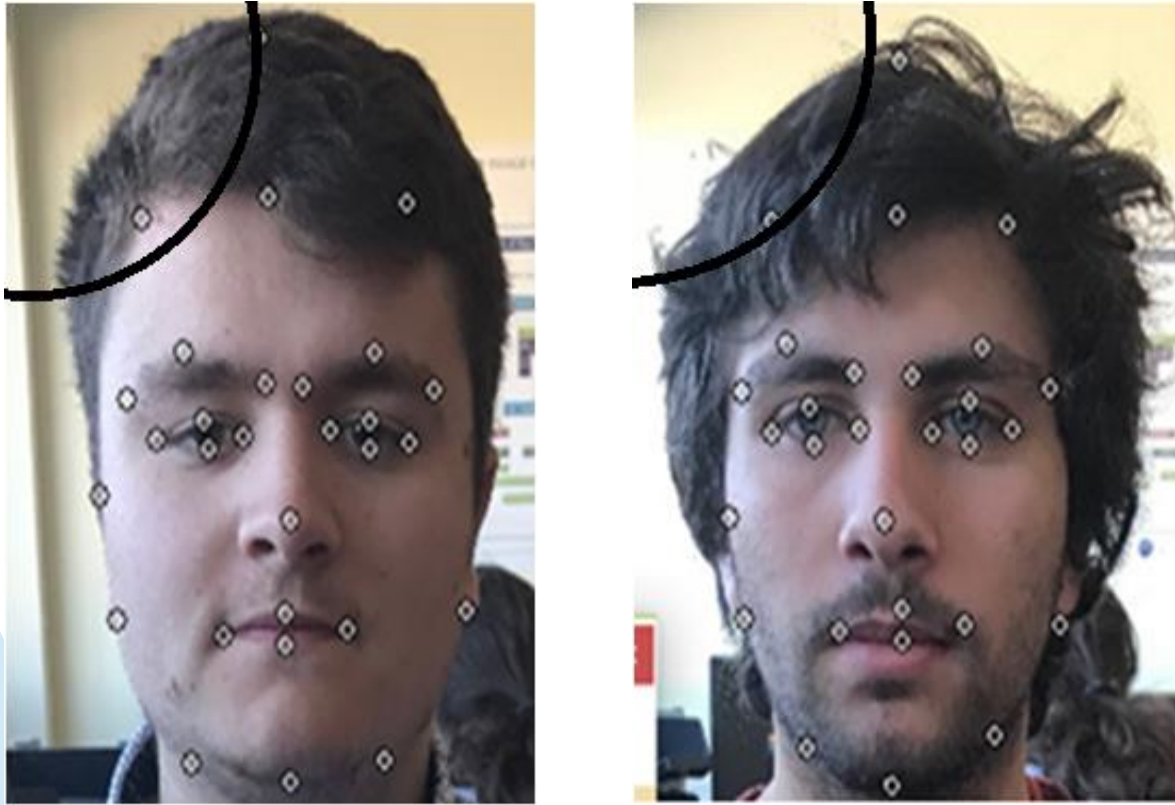
Même personne: OK



Personnes différentes: Problème de matching

➤ Image processing applications

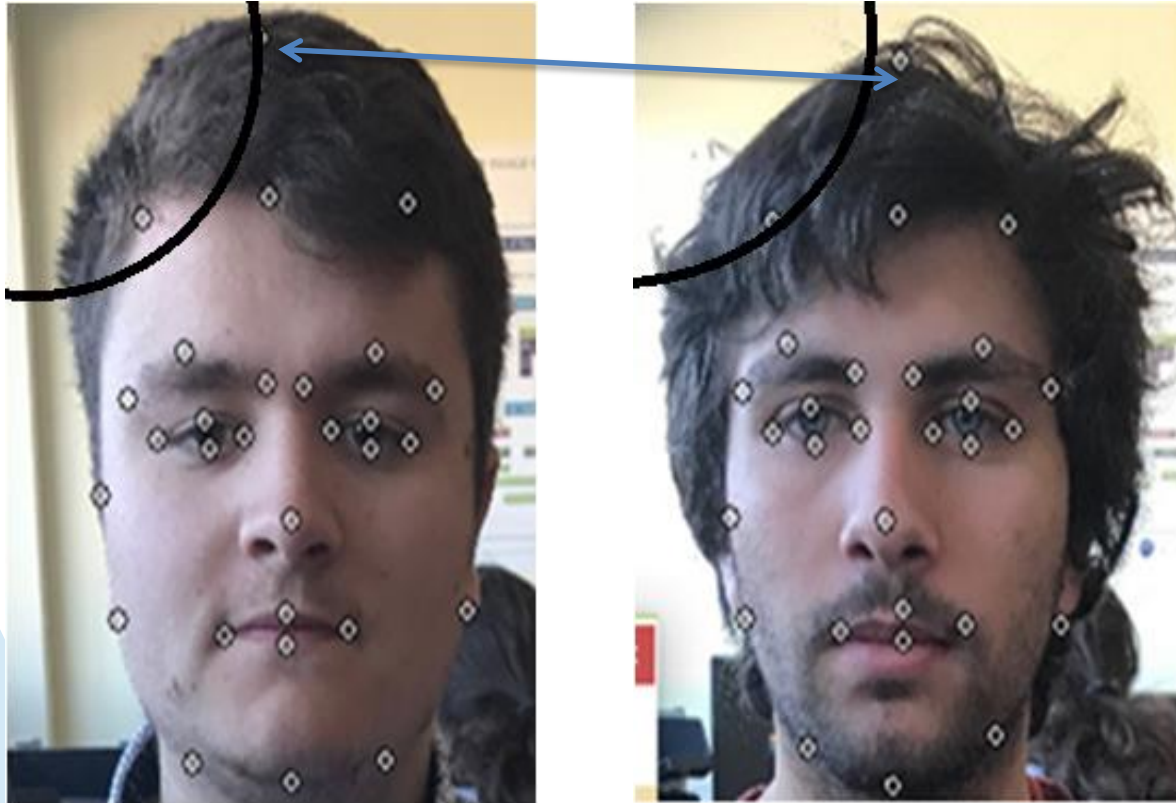
Automatic Keypoint detection for Morphing



Solution envisagée: critère de distance au coin supérieur gauche

➤ Image processing applications

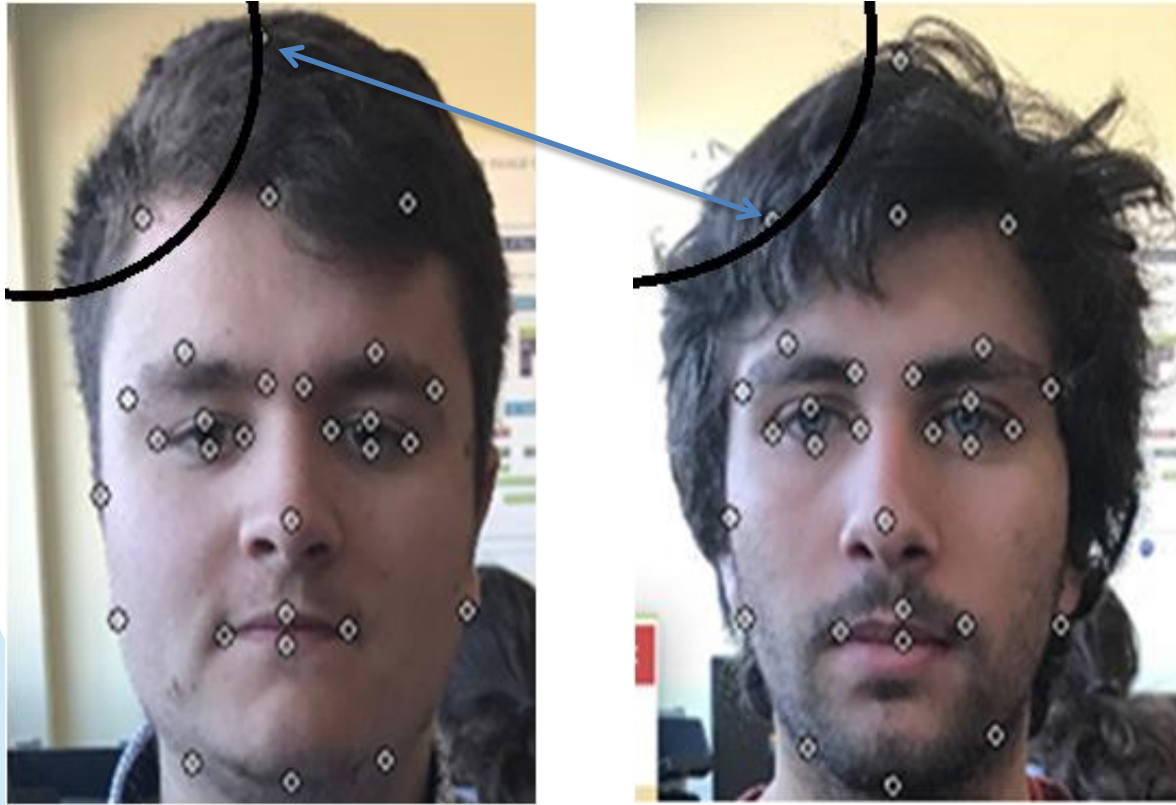
Automatic Keypoint detection for Morphing



Solution envisagée: critère de distance au coin supérieur gauche

➤ Image processing applications

Automatic Keypoint detection for Morphing

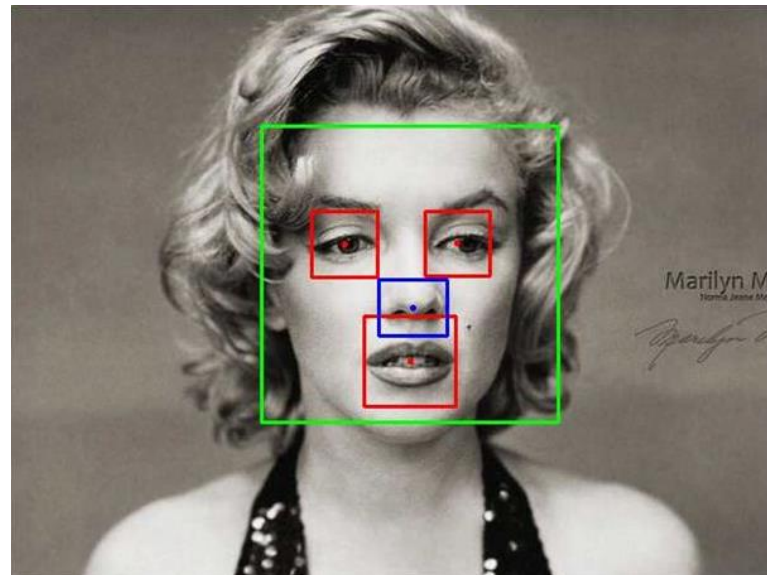
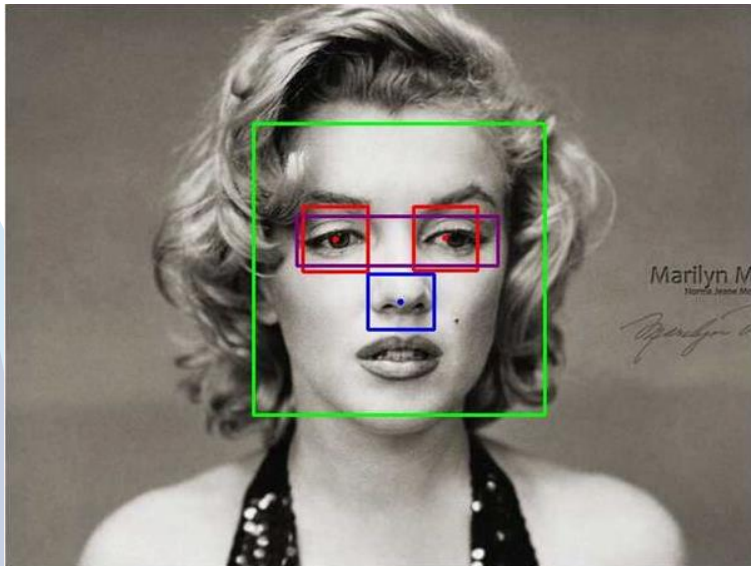


Solution envisagée: critère de distance au coin supérieur gauche

➤ Régions d'intérêt dans les visages

Idea: restrict the keypoints to some regions of interest

```
faceCascade = cv2.CascadeClassifier('haarcascade_frontalface_default.xml')  
eyeCascade = cv2.CascadeClassifier('haarcascade_eye.xml')  
mouthCascade = cv2.CascadeClassifier('haarcascade_mcs_mouth.xml')  
noseCascade = cv2.CascadeClassifier('haarcascade_nose.xml')
```



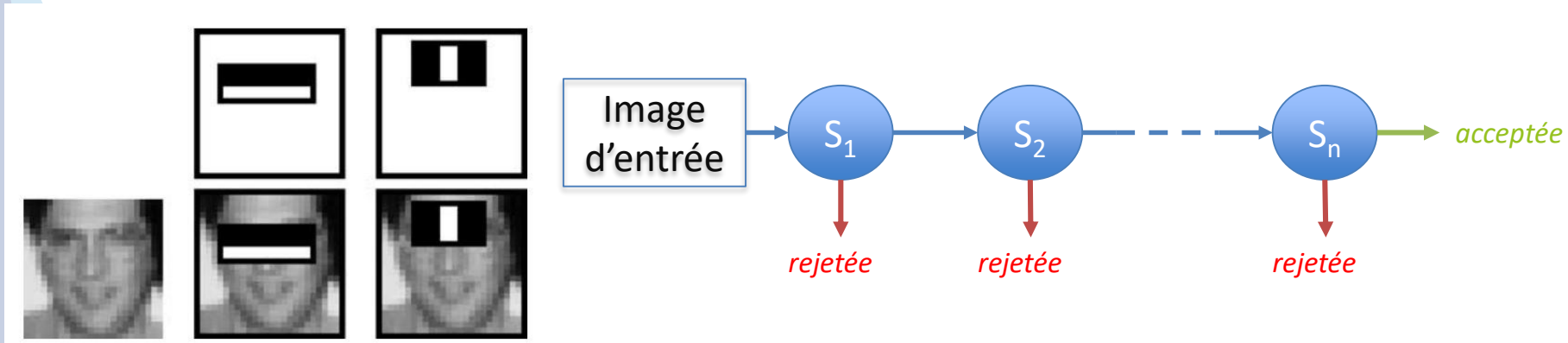
Méthode de Viola-Jones

Détection d'objet:

Localisation automatique fondée sur des caractéristiques connues a priori

Viola-Jones detector:

P. Viola and M. Jones, "Rapid object detection using a boosted cascade of simple features", 2001.



➤ Application d'intelligence artificielle

Robot UBBO Axyn:
Robot d'accueil

<http://www.axyn.fr/>



Servomoteur contrôlant la position de la tablette

Picaméra

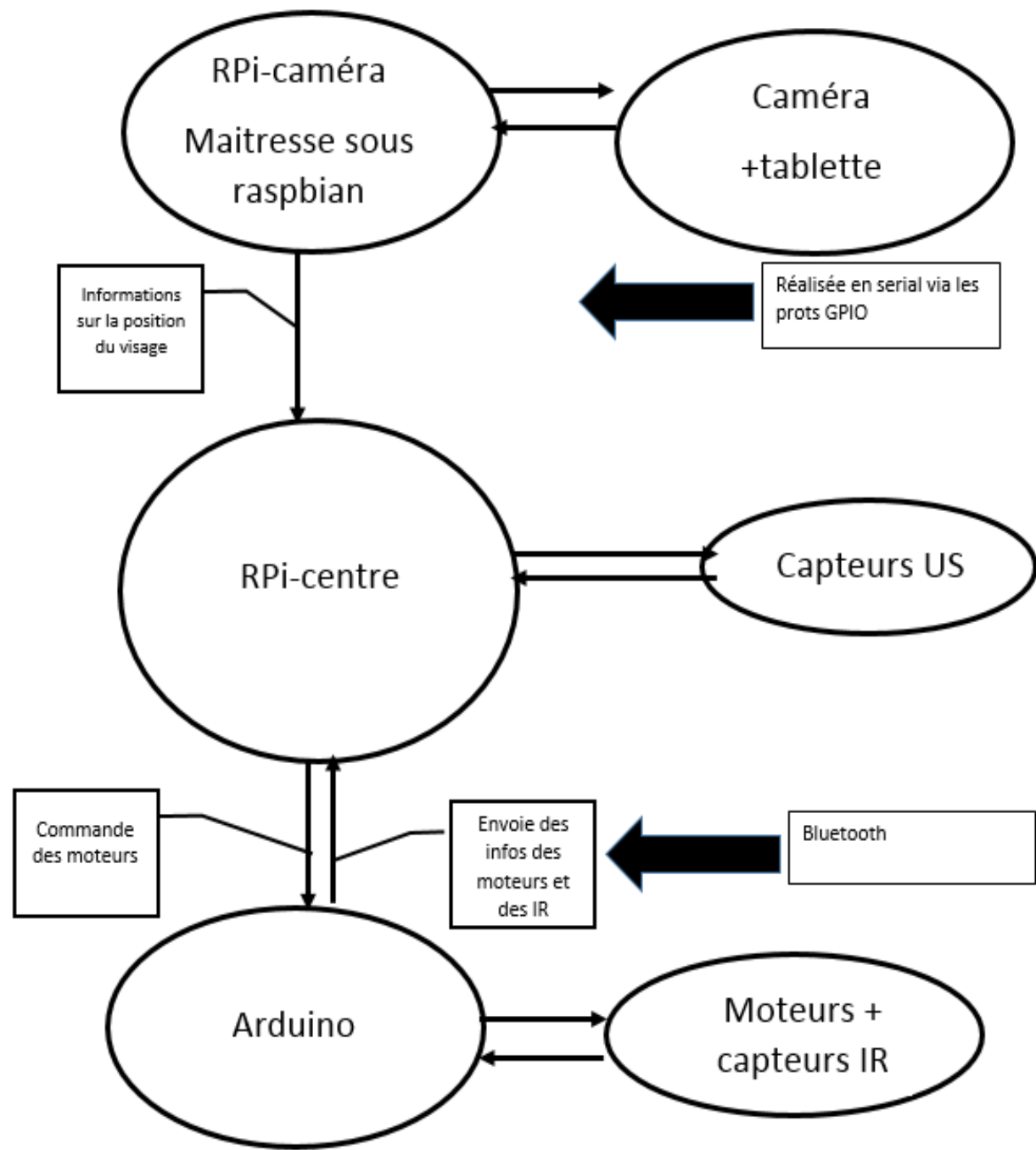
RPi-Caméra (au dos de la tablette)

Capteurs ultrasons

RPi-Centre

Arduino (sous la coque)







La RPI-caméra
montée

Communication entre Rpis

- Les différentes méthodes
 - GPIO
 - Ethernet
 - Bluetooth
 - ROS ?

Communication entre Raspberries

- La méthode de communication

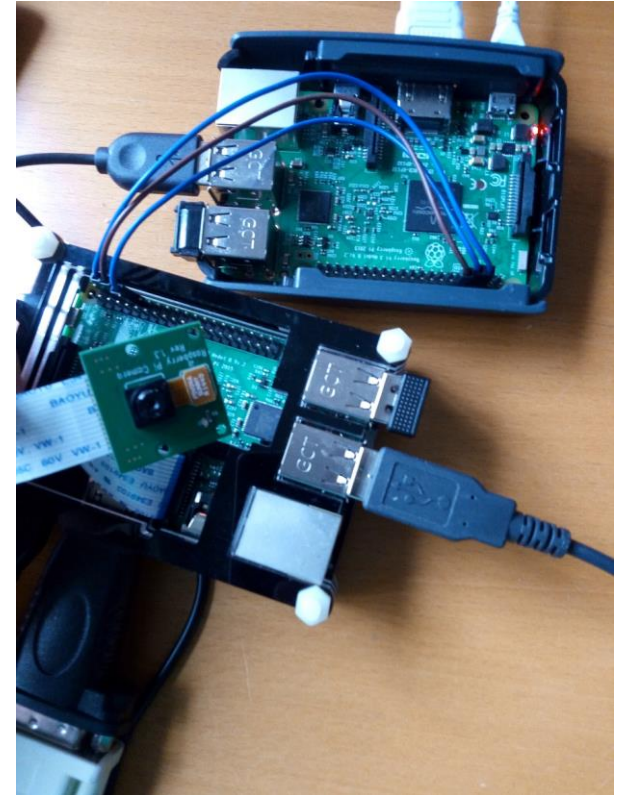
```
msg=''
for i in L:
    if len(i)<3:
        i=(3-len(i))*'0'+i
    msg+=i
msg=msg+'\n'
ser.write(msg.encode())
```

Code de communication (partie émission)

```
x=ser.readline()
if x!= info and x!='':
    print("Nouvelle donnee recue")
    print(x)
    print("analyse...")
    x1=int(x[0]+x[1]+x[2])
    y1=int(x[3]+x[4]+x[5])
    if x[6] == '-' :
        z1=int(x[6]+x[7]+x[8]+x[9])
    else :
        z1=int(x[6]+x[7]+x[8])
    info = x
```

Code de communication (partie réception)

Transfert du Rpi cerveau au Rpi intermédiaire: GPIO



Connection en GPIO entre 2 RPi

- La méthode de communication

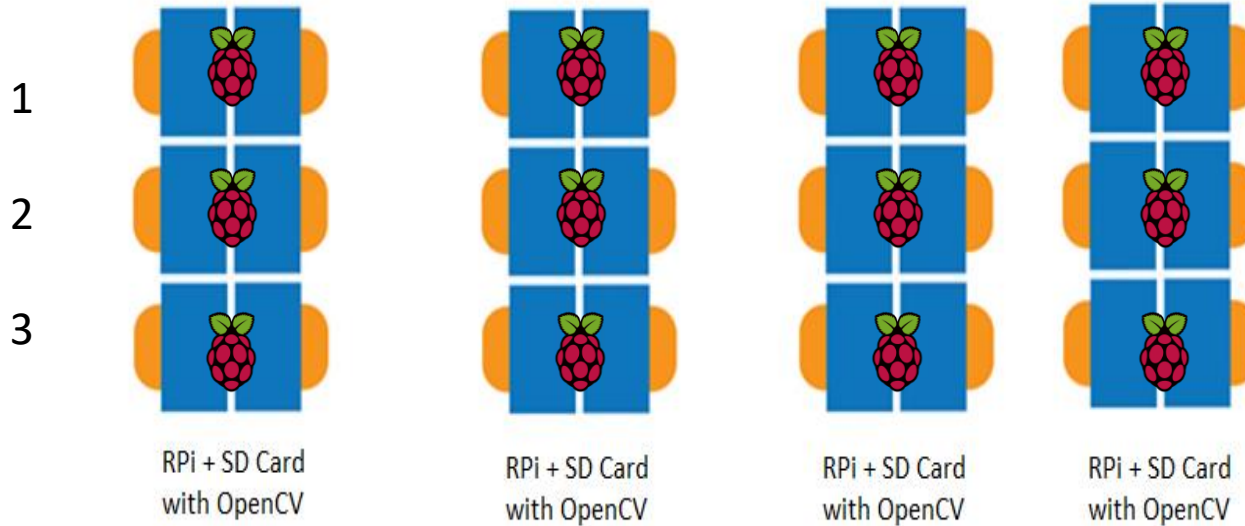
```
msg=''
for i in L:
    if len(i)<3:
        i=(3-len(i))*'0'+i
    msg+=i
msg=msg+'\n'
ser.write(msg.encode())
```

Code de communication (partie émission)

```
x=ser.readline()
if x!= info and x!='':
    print("Nouvelle donnee recue")
    print(x)
    print("analyse...")
    x1=int(x[0]+x[1]+x[2])
    y1=int(x[3]+x[4]+x[5])
    if x[6] == '-' :
        z1=int(x[6]+x[7]+x[8]+x[9])
    else :
        z1=int(x[6]+x[7]+x[8])
    info = x
```

Code de communication (partie réception)

➤ Principe de travail en TP



Équipes de 2 binômes d'étudiants

Pour chaque binôme: 1 Rpi, accès au réseau local

Pour chaque équipe: 1 carte SD avec OpenCV, 1 camera

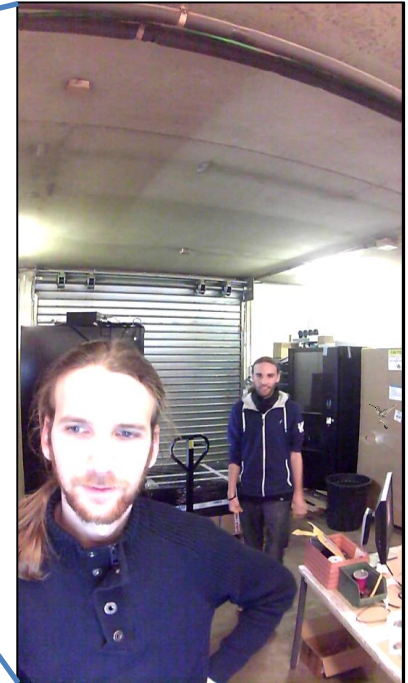
2 Détection et suivi de visages

IntuiSense
Technologies

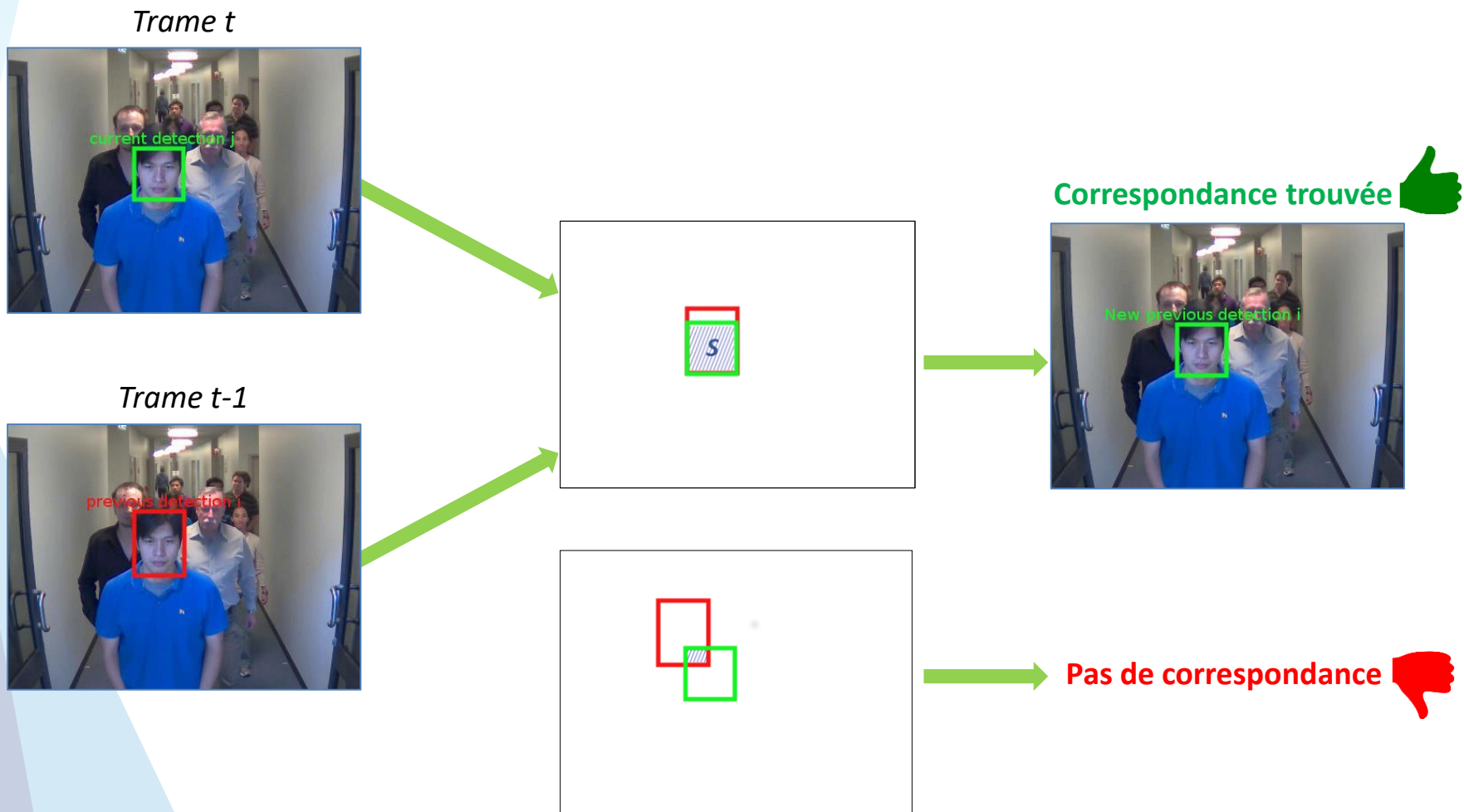
Daltys  Coffee

**Contraintes
industrielles:**

- Fond inconnu
- Illumination incontrôlée
- Visages pas de face
- Embarqué: *programme exécutable autonome sur Céléron*
- Temps réel



Correspondance de détections

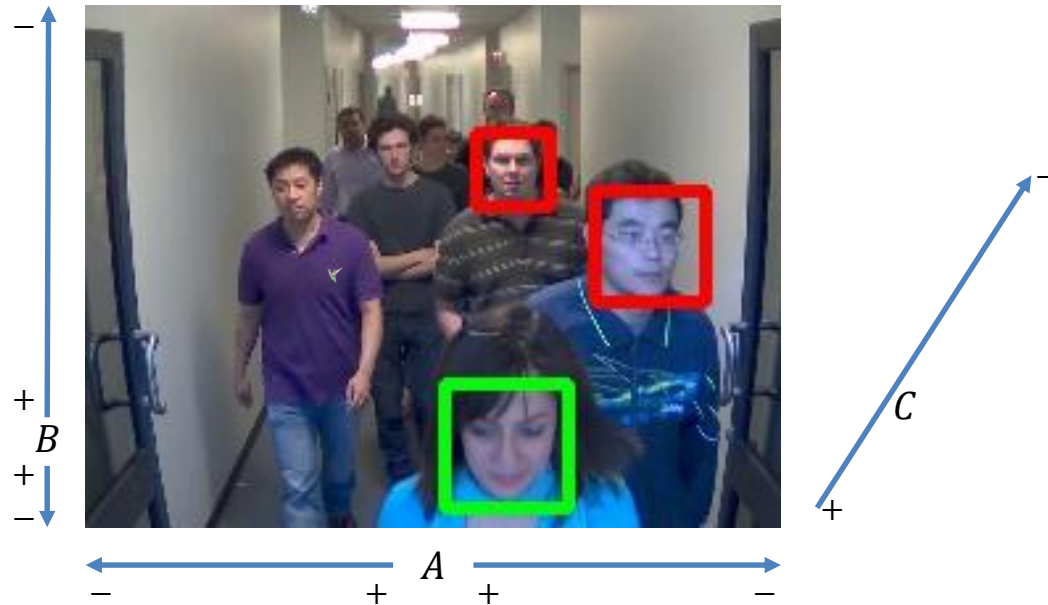


Utilisateur potentiel

Objectif:

Déterminer quelle personne détectée a la plus forte probabilité d'être l'utilisateur

$$P(D = \text{utilisateur}) = A \times B \times C$$



Key points



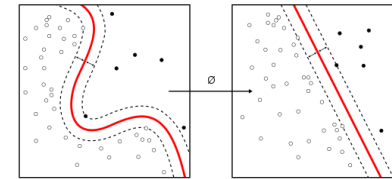
Application de reconnaissance de genre

Reconnaissance de genre:

Attribuer automatiquement une étiquette 'homme' / 'femme' à une image de visage

Matériel et méthodes:

- Un algorithme de machine learning: machines à vecteurs de support



- Une base de données d'images (FERET)



- Une représentation d'images (Local Binary Patterns)



Lien avec l'optimisation

Fonction objectif:

Taux de fausse reconnaissance (False recognition rate FRR)

$$FRR = \frac{nb_{fr}}{nb_testing_images} \quad (\text{fitness})$$

Méthodologie SVM, paramètres à estimer:

$$\min_{w, \zeta_1, \dots, \zeta_l} \left[\frac{1}{2} \|w\|^2 + C \sum_{i=1}^l \zeta_i \right] \quad \text{with } C \in \mathbb{R}^{+*} \quad (K_1)$$

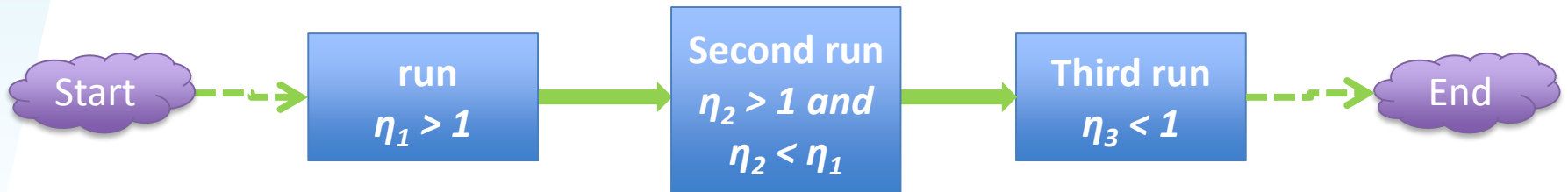
Noyau Gaussien (RBF) :

$$K(x_i, x_j) = \exp\left(-\frac{\|\varphi(x_i) - \varphi(x_j)\|^2}{2\gamma^2}\right) \quad \text{with } \gamma \in \mathbb{R}^{+*} \quad (K_2)$$

C	γ	FRR
100	1,00E-03	50,00%
100	1,00E-04	18,50%
1	1,00E-06	26,10%
10	1,00E-06	13,60%

Lien avec l'optimisation

GWO adaptif, version continue : expression de 'a' adaptée sur trois étapes



$$\eta_1 = 8 \quad T_{max} = 15 = (3 \times 5)$$

$$\eta_2 = 2 \quad Q = 20$$

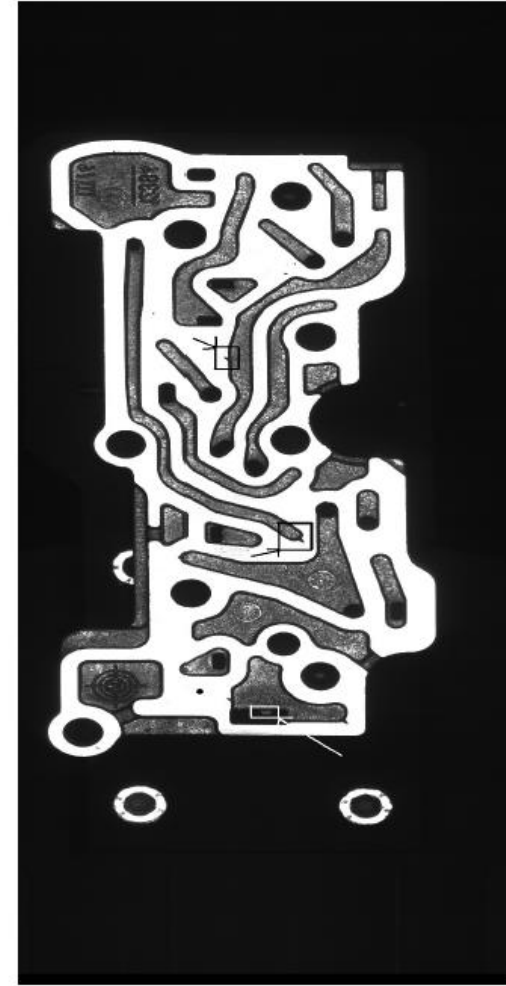
$$\eta_3 = 0,5$$

Method	Best (γ, C)	100 - FRR	Time (sec.)
PSO	(6,7E-07; 600)	91,40%	1970
GWO	(1,6E-07; 800)	91,50%	1970
mGWO	(5,0E-08, 83)	91,90%	1970
aGWO	(4,9e-08; 82)	91,90%	968

3 Détection de défauts, contrôle non destructif de pièces métalliques



(a)

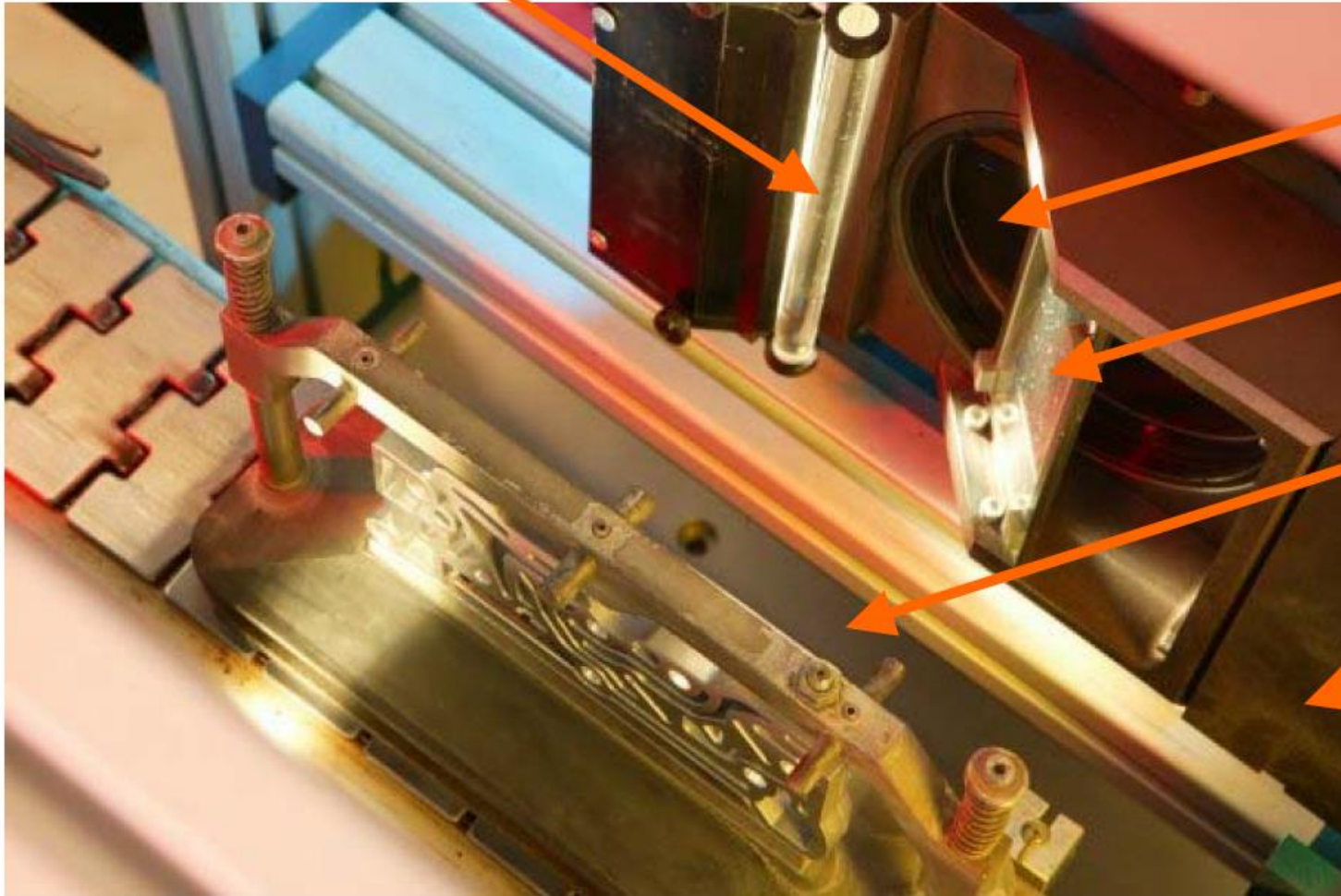


(b)

(a) Système industriel d'acquisition d'images

(b) Pièce métallique avec défauts

Système d'acquisition Eclairage



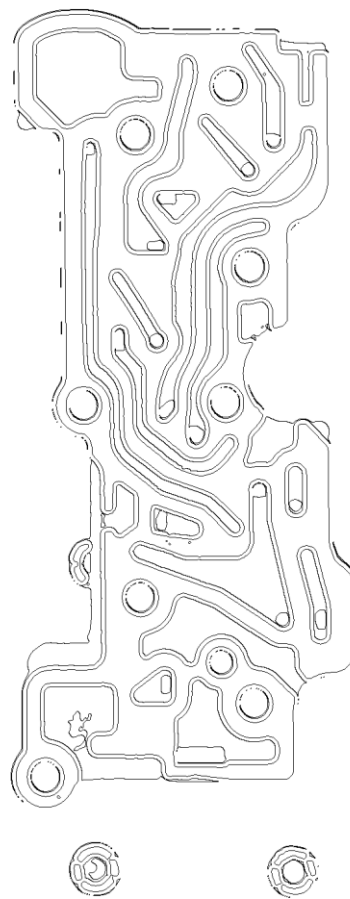
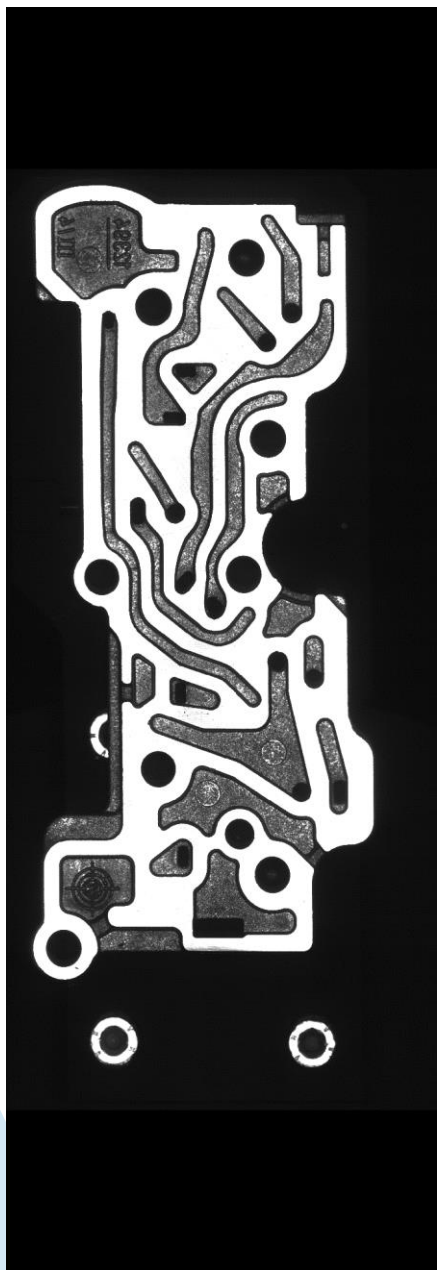
**Objectif
Télécentrique**

**Séparateur
de lumière**

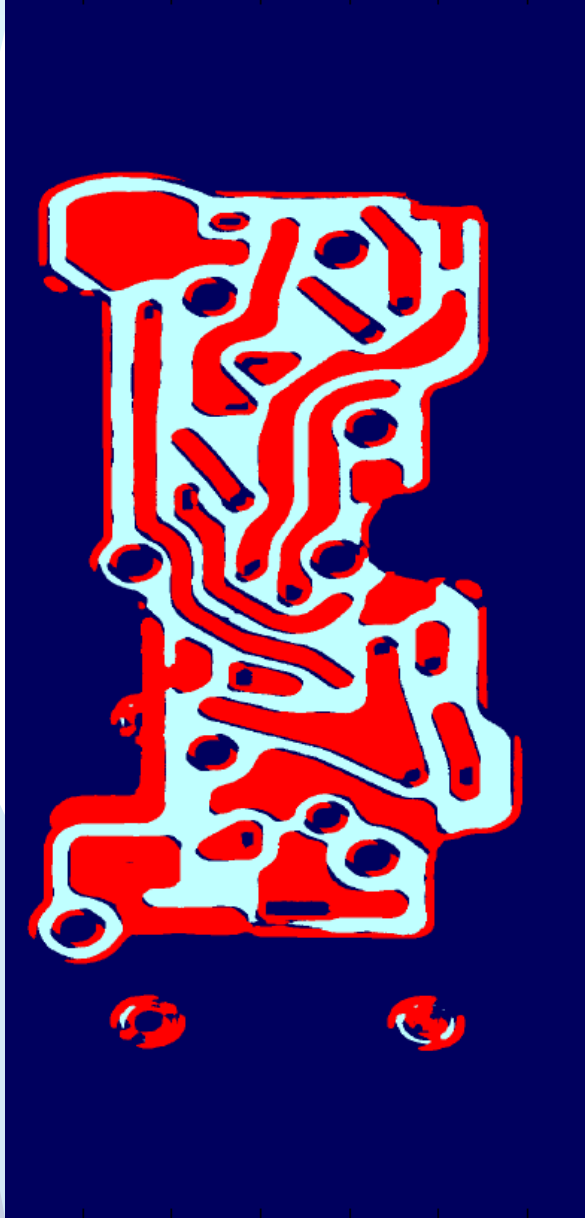
**Surface à
tester**

**Piège de
lumière**

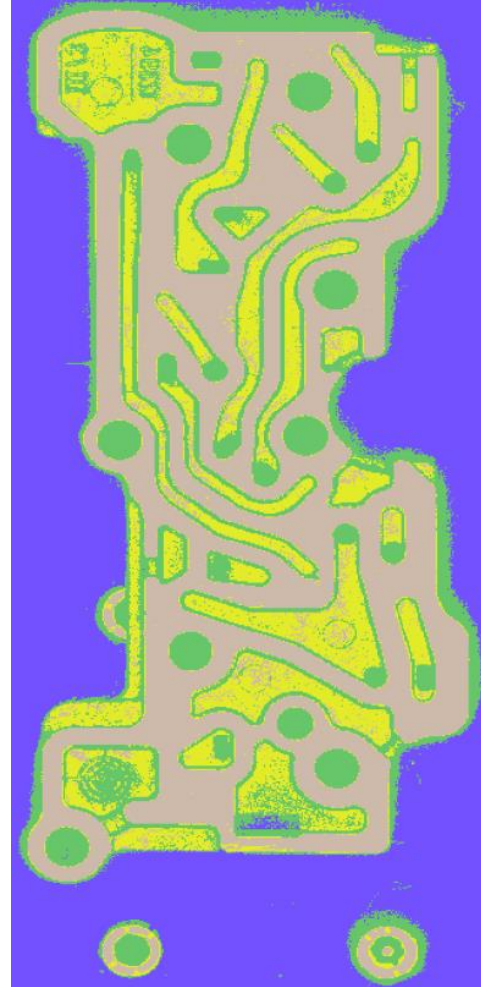
Image de référence et résultat de segmentation



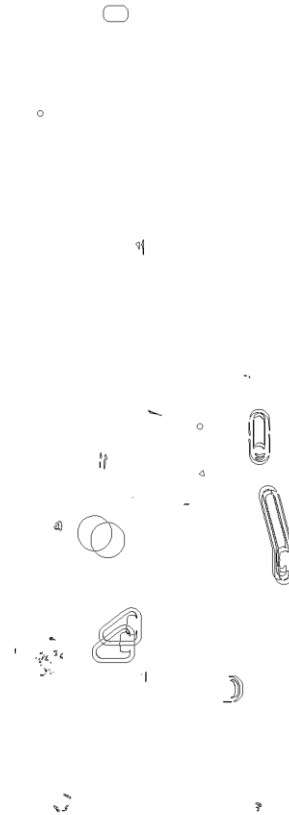
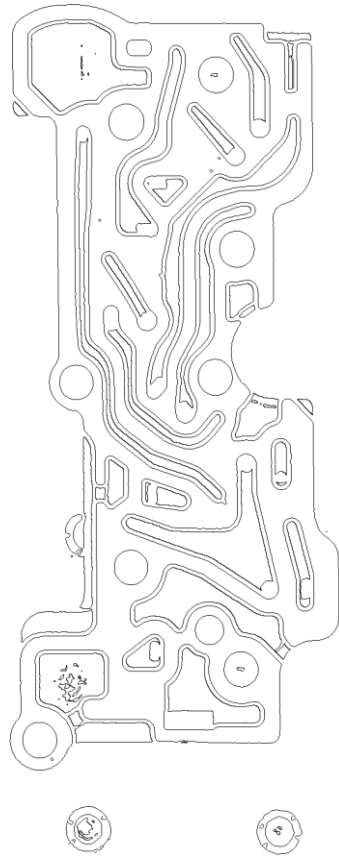
Résultats comparatifs Texture



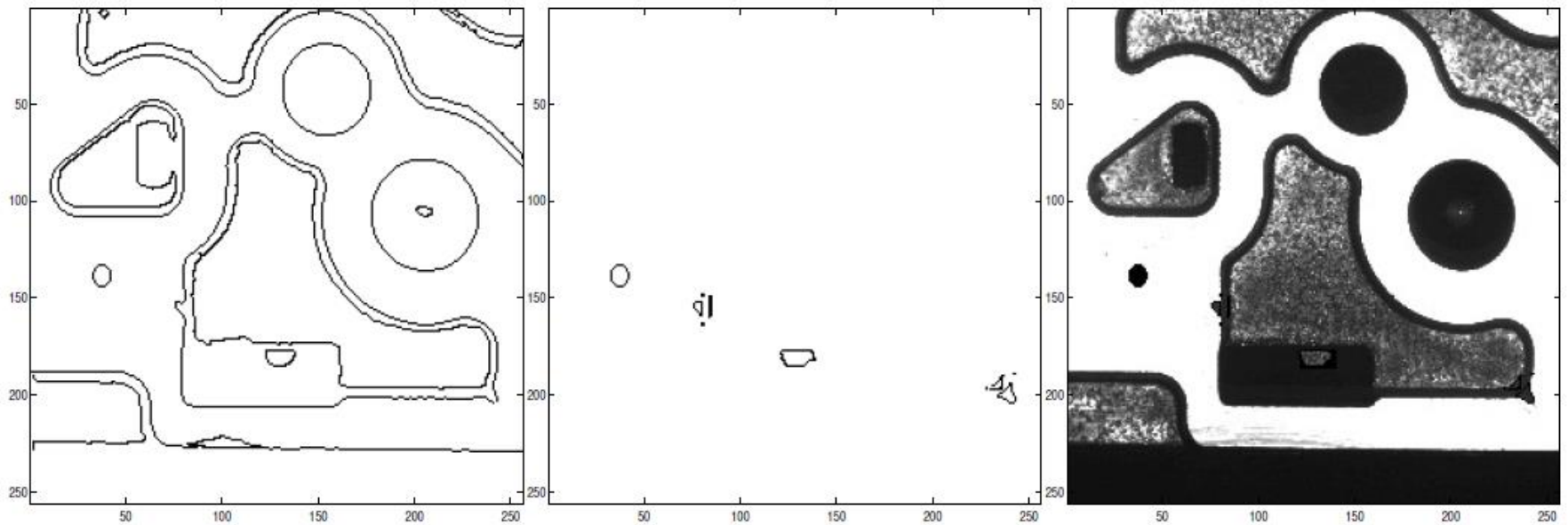
Champs de Markov



Cartes de contours et défauts



Cartes de contours et défauts

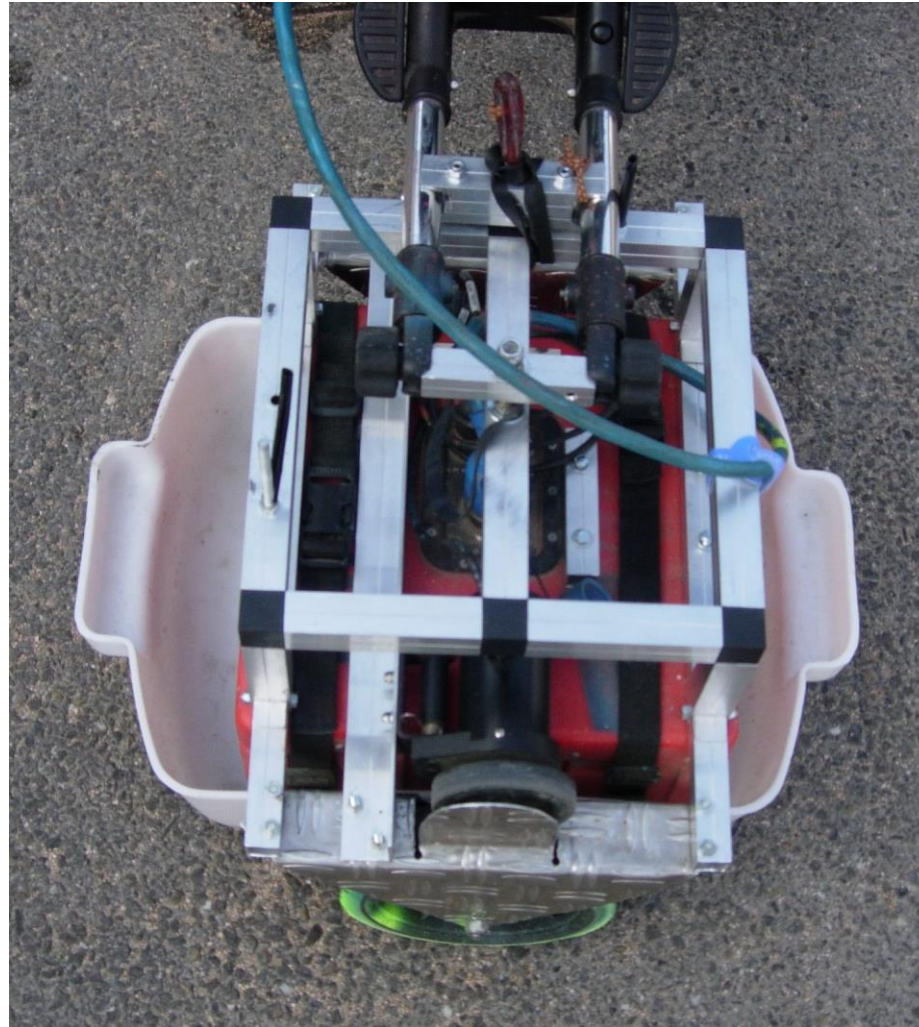


4 Détection de formes dans des images géoradar

Le système d'acquisition



Le système d'acquisition

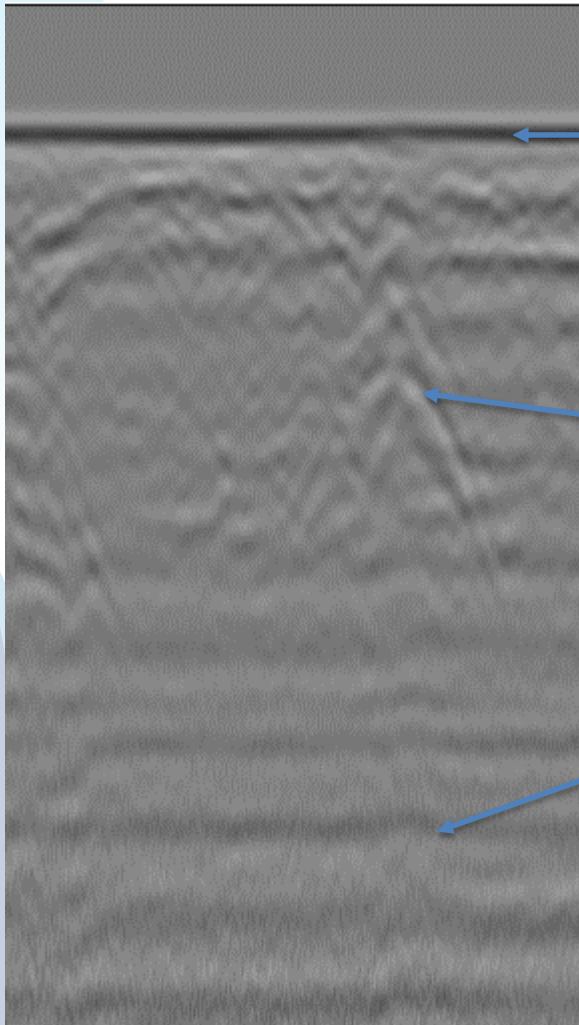


L'interface





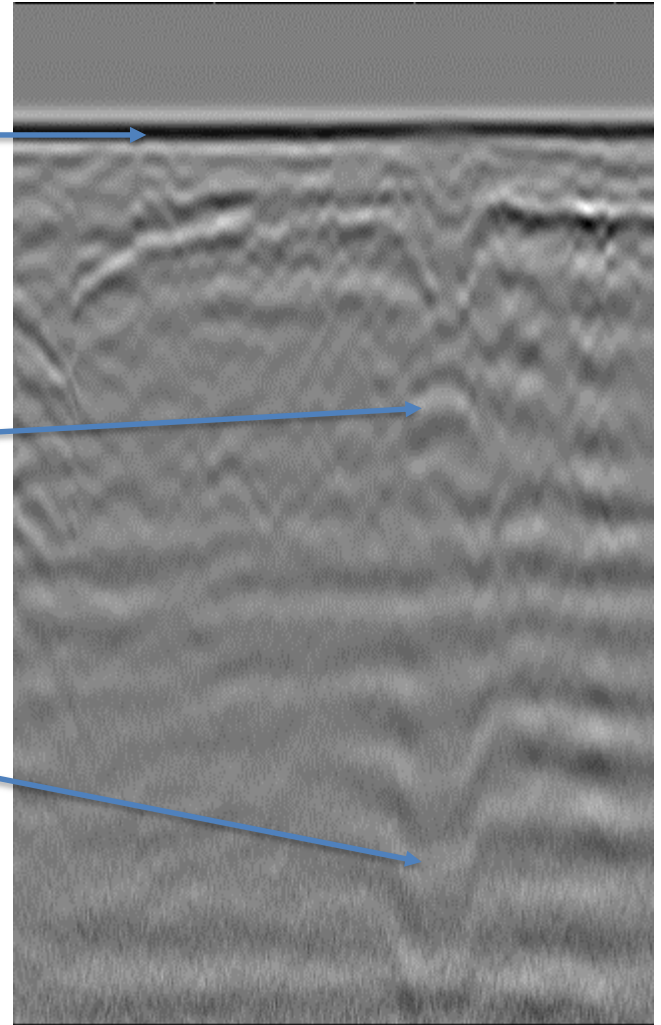
Images acquises



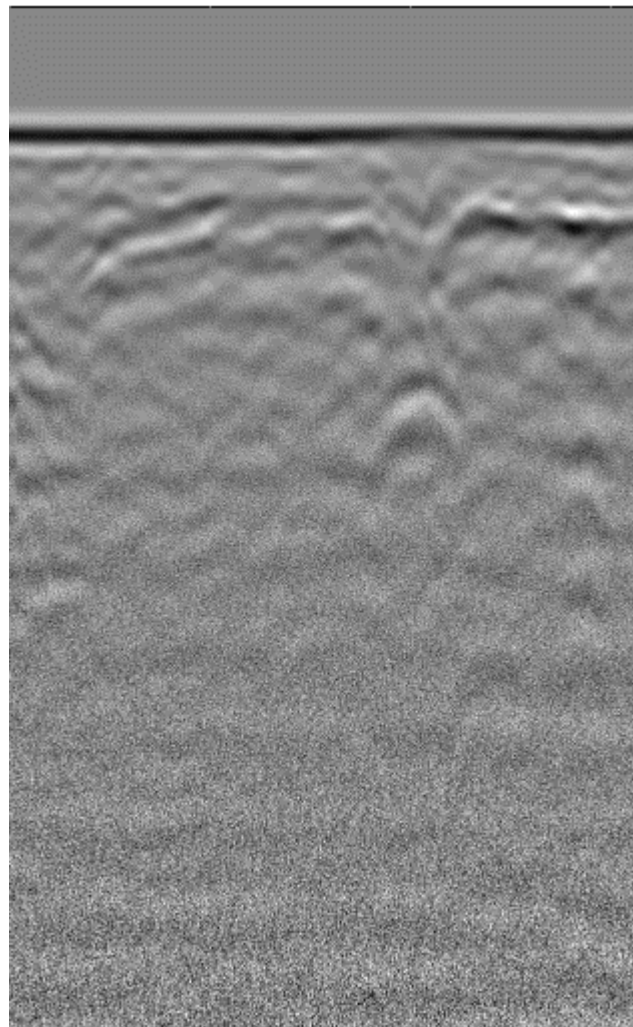
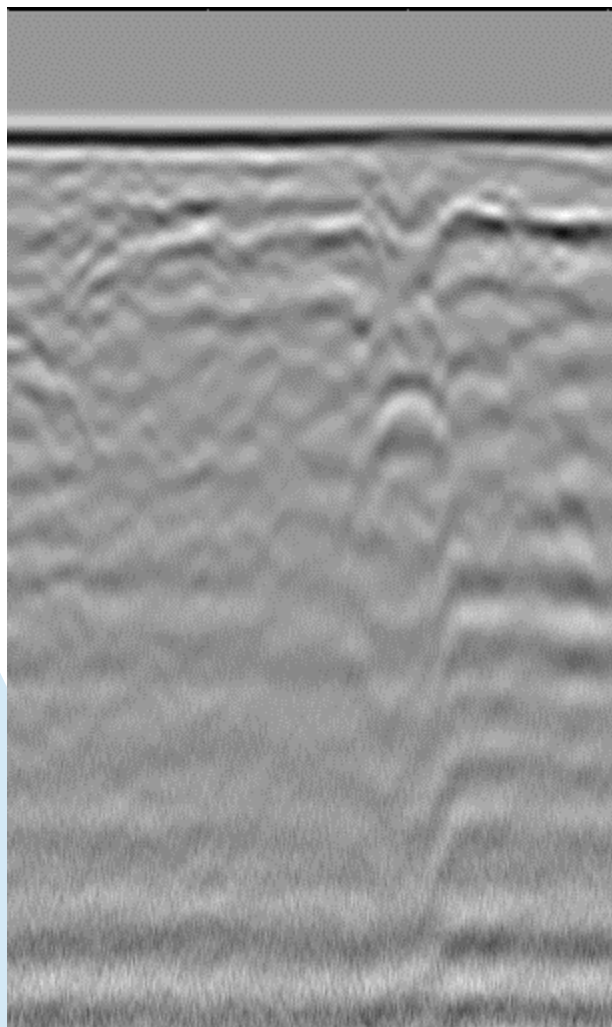
← Asphalte →

← Hyperbole Réseau →

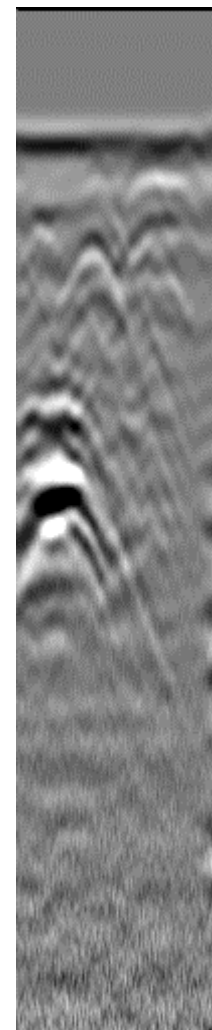
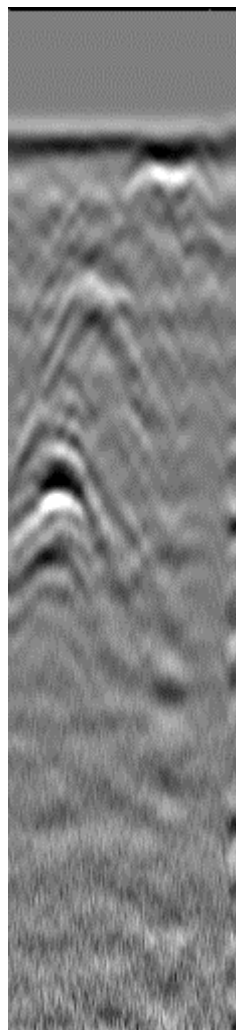
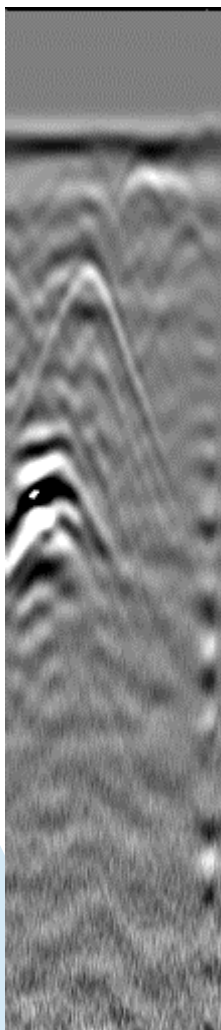
← Tranchée →



Images acquises

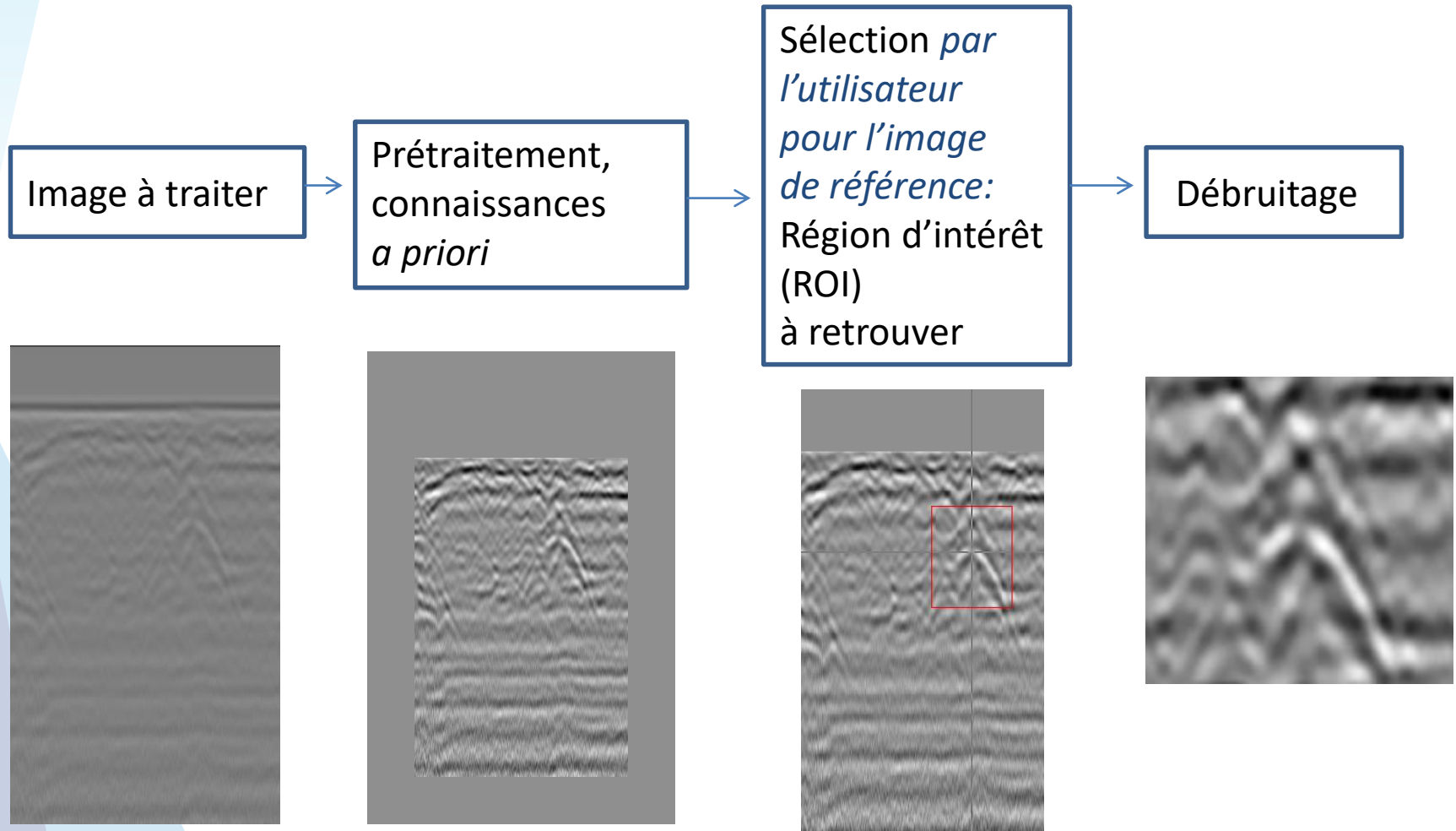


Images acquises



4 Détection de formes dans des images géoradar

La méthodologie



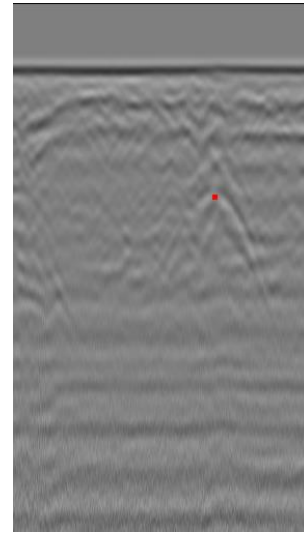
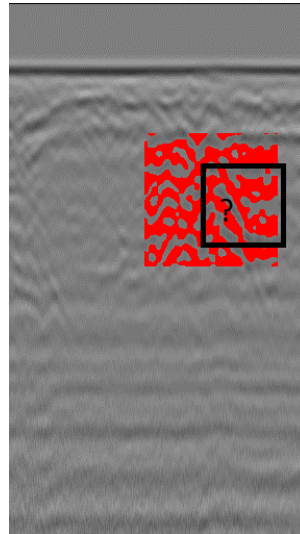
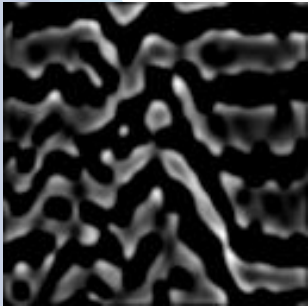
La méthodologie

Mise en valeur
des contours:
Égalisation
d'histogramme,
filtre de
Marr-Hildret

Détection des
contours

Recherche
automatique
dans les
images test
De la zone
cible par
comparaison
à la ROI

Résultat



Critère de localisation automatique

ROI
centrée sur
le point de
référence

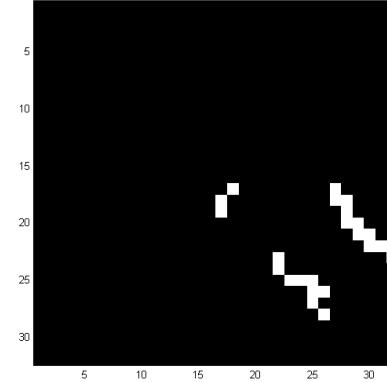
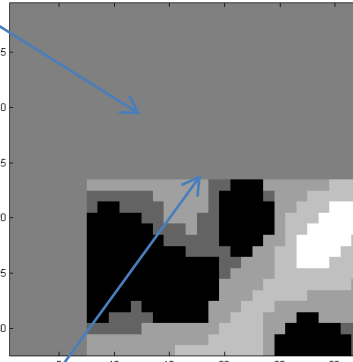
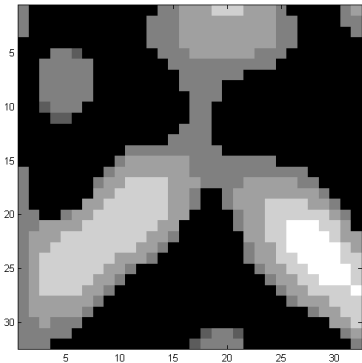
Sous-images tests,

images critères

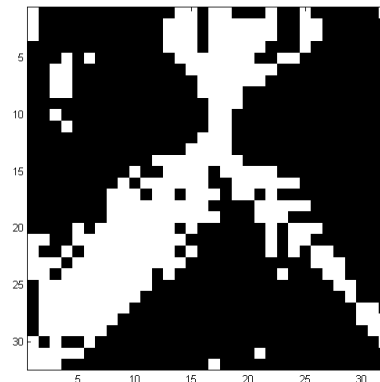
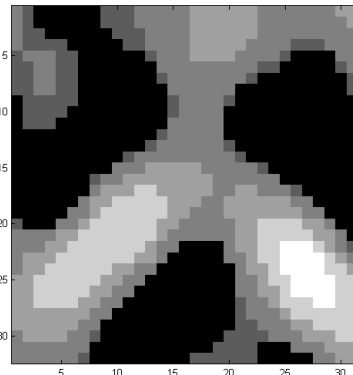
Valeurs
critère

Pixels non
pris en
compte
dans le
critère

Le centre de
La sous-
image
parcourt
Tous les
pixels de la
ROI



0.05

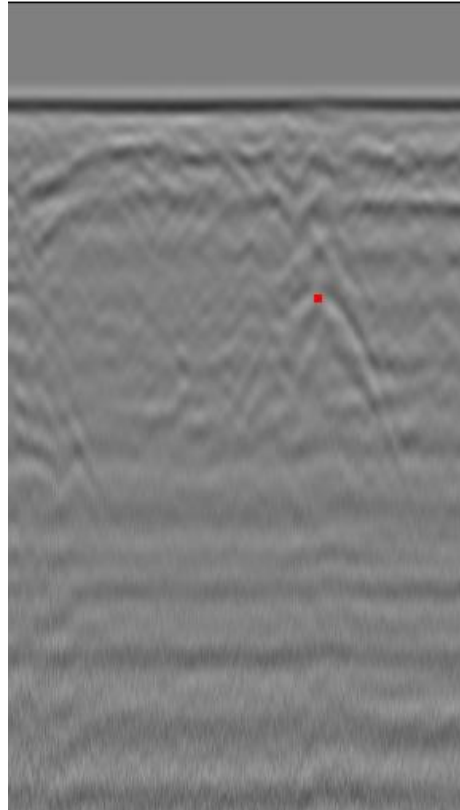
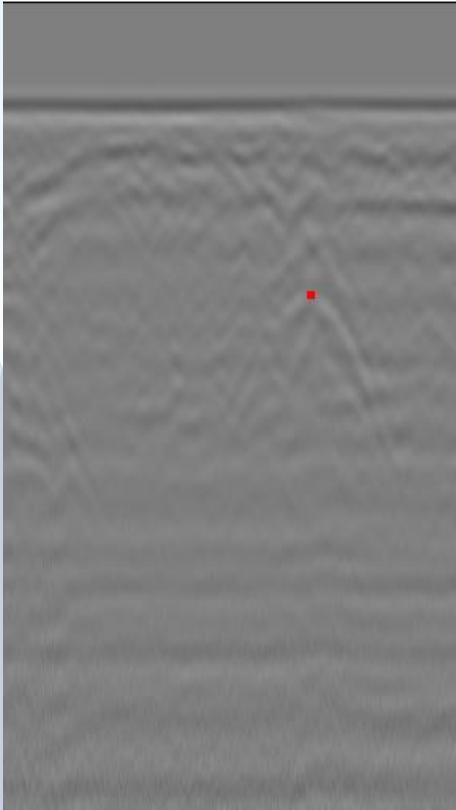


0.59

Image 1

Image n>1

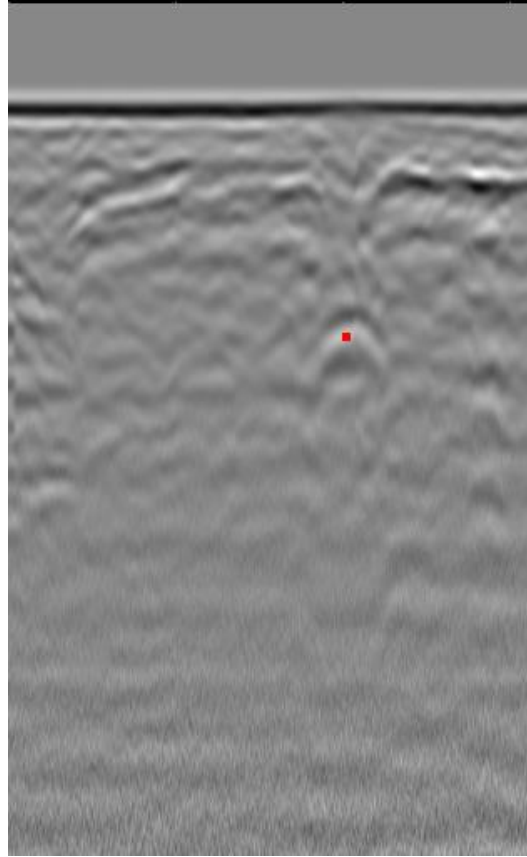
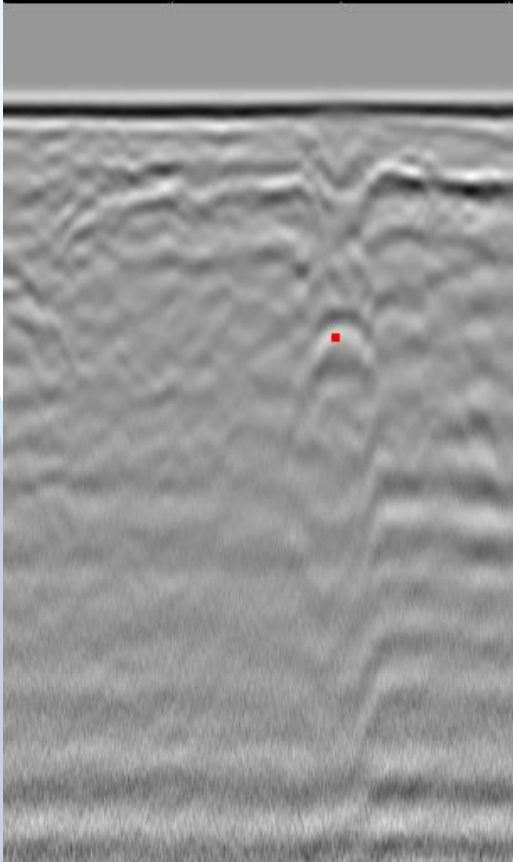
Exemple 1



Valeur min
de critère:
0.07

Valeur max
de critère:
0.59

Exemple 2



Valeur min
de critère:
0

Valeur max
de critère:
0.67

Merci pour votre attention



Annexe



5 Débruitage et démélange simultané d'images multispectrales

Image multispectrale:

Image composée de plus de 3 canaux

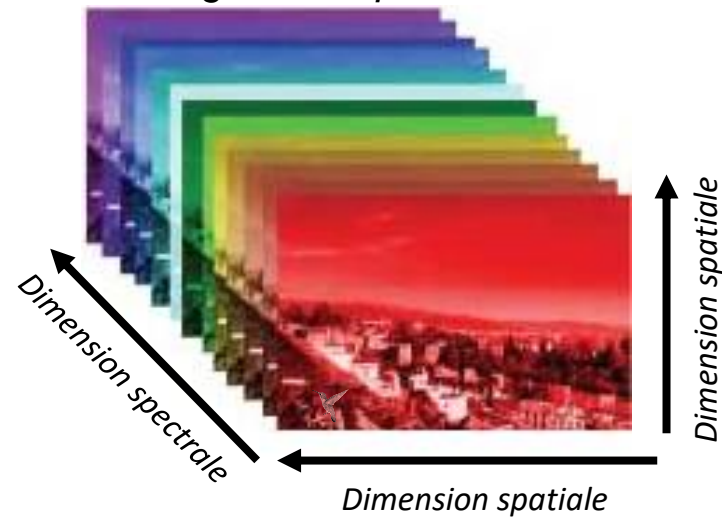
Vue originale



Décomposition RGB

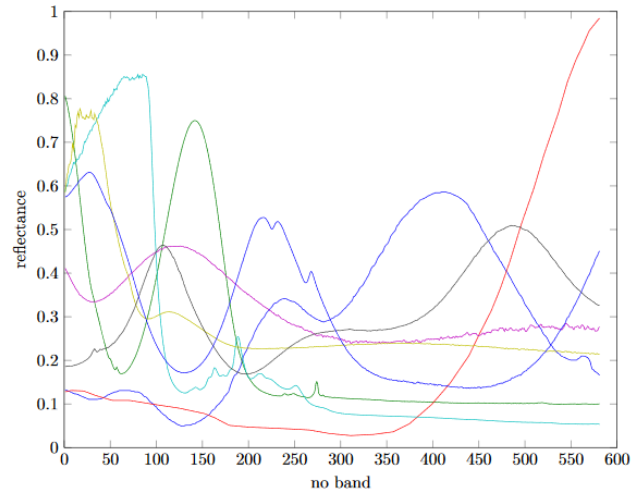


Image multi-spectrale



Démélange de spectres:

Identification de spectres sources (forêt, sol)

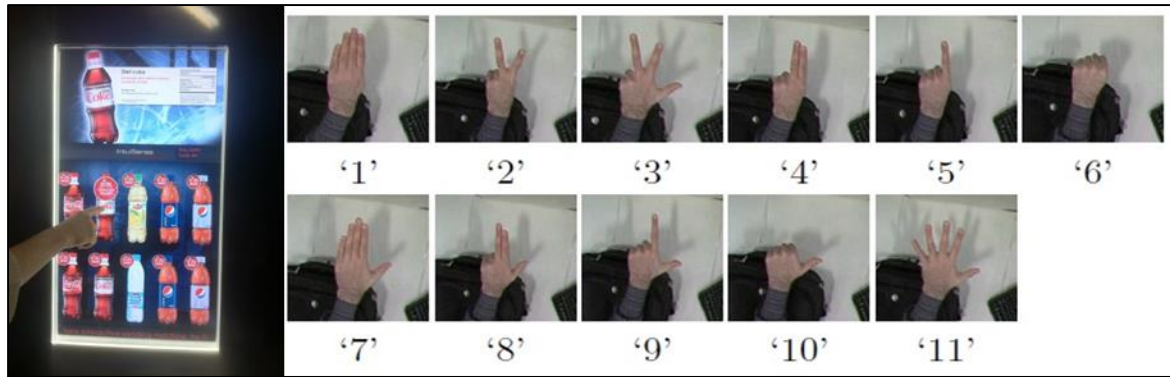


$$y = \lambda_1 s_1 + \lambda_2 s_2 + n$$

Débruitage d'image:

Procédé de suppression selective du bruit dans une image

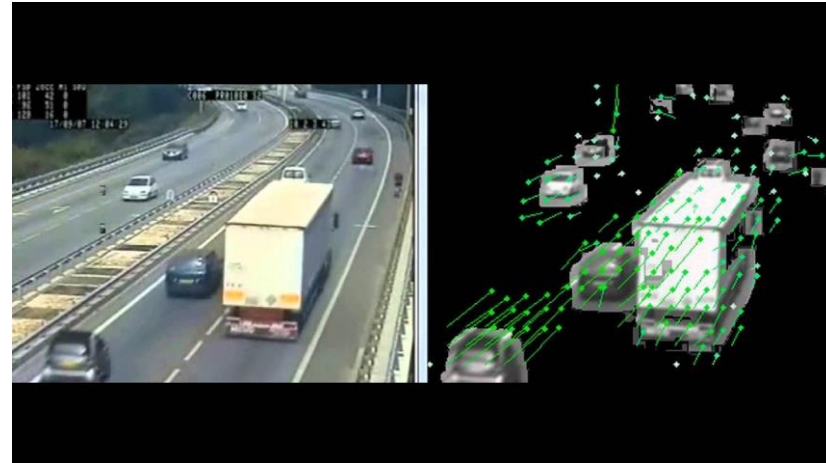
1 Postures de la main



Le flux optique

Principes

- ▶ Cible en mouvement
- ▶ Pas de contrainte sur le fond
- ▶ Pas de contrainte sur la couleur de la cible

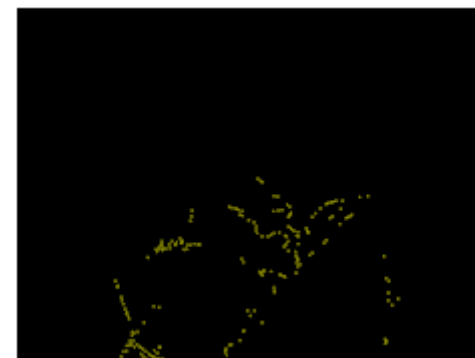
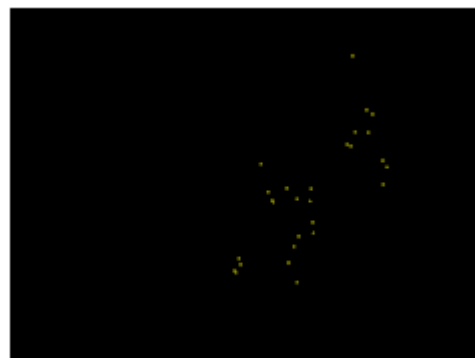
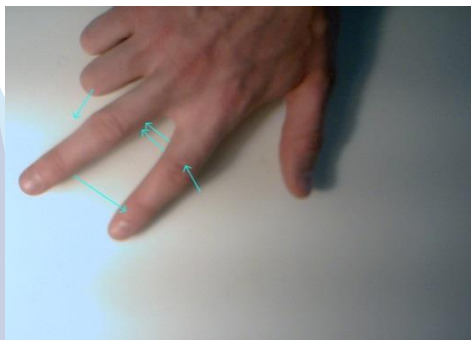
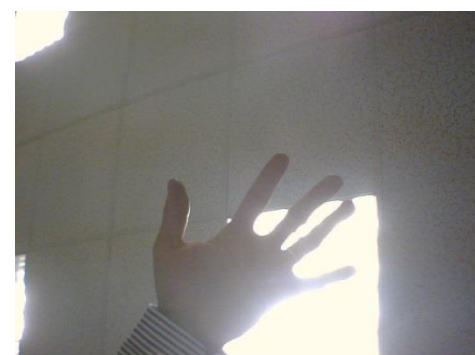


Méthode : flux optique adapté

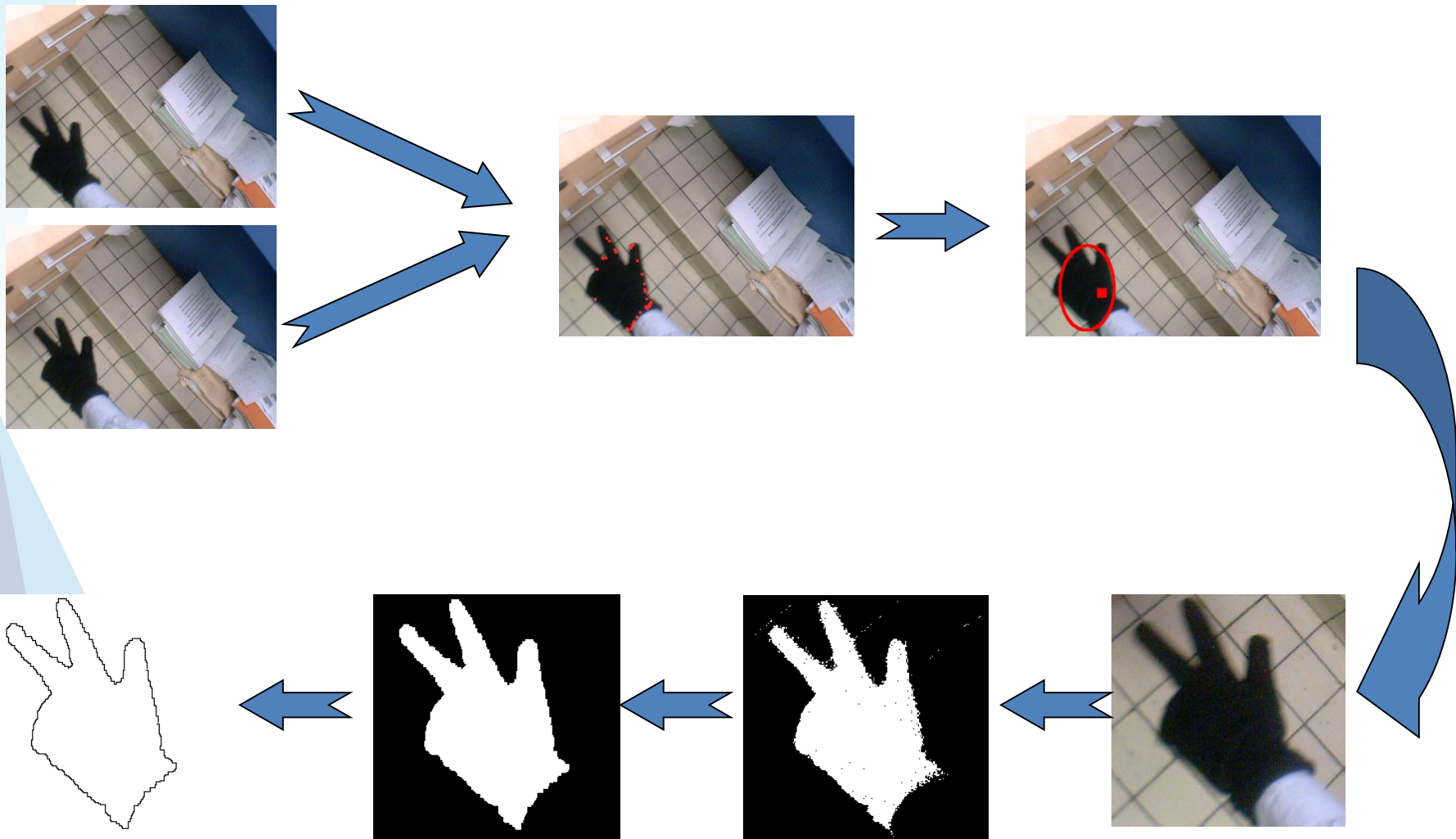
- ▶ Faible mouvement de la main
- ▶ Fond non uniforme
- ▶ Mains blanches et mains de couleur



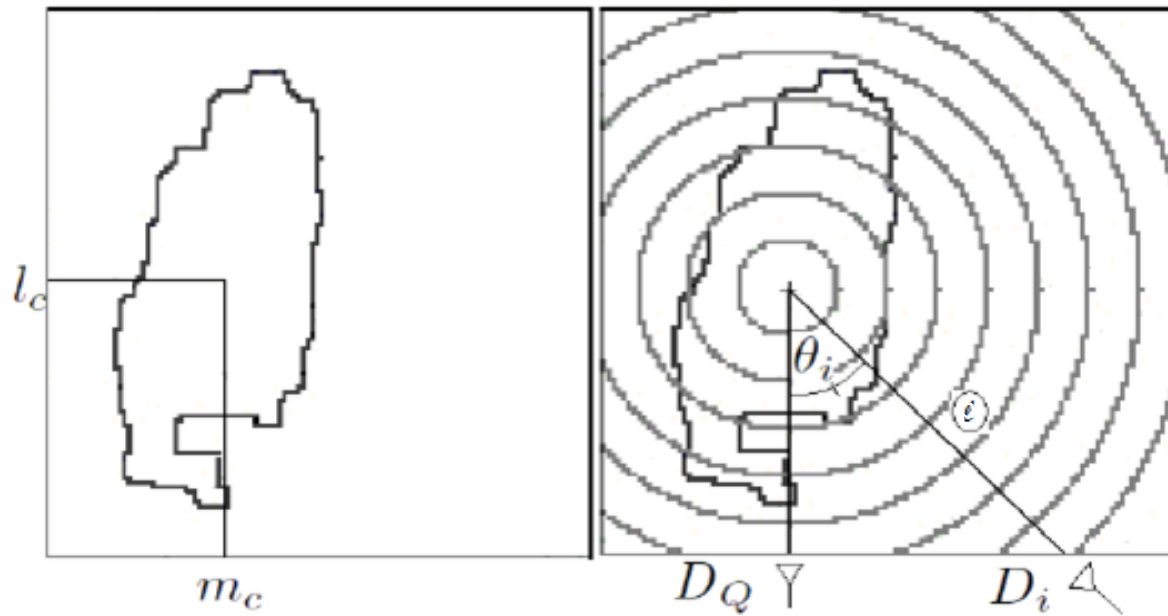
Adaptation du flux optique à la détection d'objets



Adaptation du flux optique à la détection d'objets



Nouvelle signature



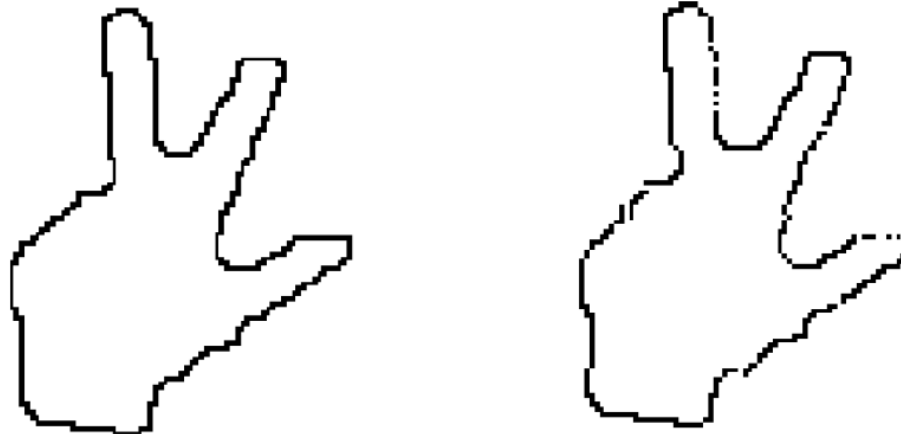
Signature: matrice Z

- ▶ Un angle θ_i , une direction $D_i \rightarrow$ colonne de Z
- ▶ Un niveau p , un intervalle de distance \rightarrow ligne de Z
- ▶ Un pixel / direction / niveau

Nouvelle signature

Propriétés d'invariance

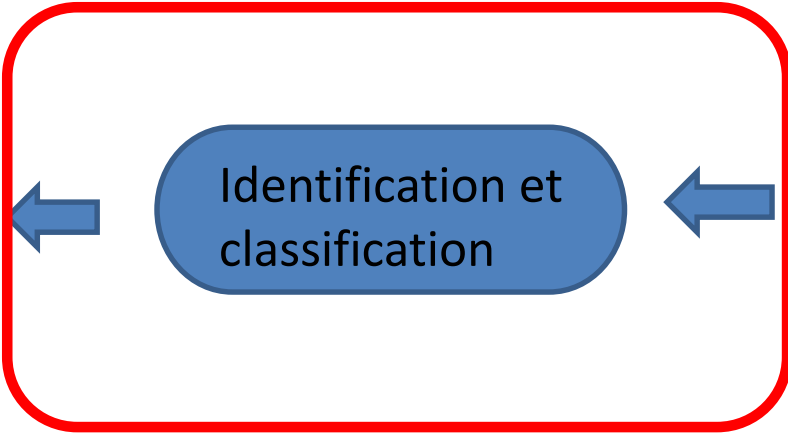
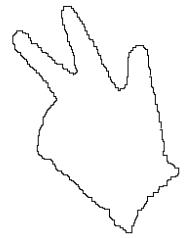
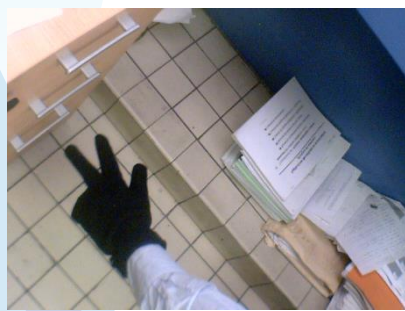
- Translation → boîte englobante
- Rotation + Symétrie axiale → tri par niveau
- Facteur d'échelle → normalisation des $z_{p,i}$



La signature conserve les détails du contour

Identification et classification

Identification : associer une image à une classe
 Classification : rassembler des images en plusieurs classes



$$Z = \begin{pmatrix} 0 & \dots & 0 & \delta_{1,Q} \\ \delta_{2,1} & \dots & \delta_{2,Q-1} & 0 \\ \vdots & \vdots & \vdots & \vdots \\ 0 & \dots & 0 & \delta_{L-1,Q} \\ 0 & \dots & \delta_{L-1,Q-1} & \delta_{L,Q} \end{pmatrix}$$